Eco-Environmental Knowledge Web



ENVIRONMENTAL SCIENCE

ISSN 0250-3301 CODEN HCKHDV HUANJING KEXUE

- 主办 中国科学院生态环境研究中心
- ■出版科学出版社





2020

Vol.41 No.4 第41卷 第4期

採货料算 (HUANJING KEXUE)

ENVIRONMENTAL SCIENCE

第41卷 第4期 2020年4月15日

目 次

基于深度学习的华东地区 PM _{2.5} 浓度遥感反演	513)
秋冬季区域性大气污染过程对长三角北部典型城市的影响	
············· 李瑞, 李清, 徐健, 李亮, 葛朝军, 黄凌, 孙登红, 刘子义, 张坤, 周国柱, 王杨君, 胡子梅, 宋燕西, 陈勇航, 李莉(15	520)
基于 GAM 模型的西安市 O, 浓度影响因素解析 ····································	
北京及周边6个城市大气 PM, 5中左旋葡聚糖及其异构体的时空分布特征	
典型沿海城市采暖期细颗粒物组分特征及来源解析 李明燕,杨文,魏敏,朱红晓,刘厚凤(15	55U)
成都地区黑碳气溶胶变化特征及其来源解析 王璐, 袁亮, 张小玲, 贾月涛(15	561)
天津夏季郊区 VOCs 对臭氧生成的影响姚青,韩素芹,张裕芬,毕晓辉,王晓佳,蔡子颖(15	573)
涂料制造行业挥发性有机物排放成分谱及影响 吴健,高松,陈曦,杨勇,伏晴艳,车祥,焦正(15	
典型超低排放燃煤电厂可凝结颗粒物特征和成因 邓建国,王刚,张莹,李妍菁,段雷,蒋靖坤(15	589)
中国地表水硝酸盐分布及其来源分析 张鑫,张妍,毕直磊,山泽萱,任丽江,李琦(15	
中、韩滨海城市化区域水体全氟化合物的空间特征及生态风险 杨洪法,史斌,周云桥,杨璐,孟晶,陈礼强,王铁宇(16	507)
小清河入海口近十年水质变化及驱动因素分析 范新凤,韩美,王磊,李秀萍,周璟(16	519)
浙江省 H 市水处理及供水系统 4 种人工甜味剂的分布特征 ············· 马晓雁, 胡慧, 陆思嘉, 李青松, 薛乐飞, 李雪纯, 邓靖(16	529)
三峡库区支流梅溪河附石藻类群落变化及其与环境因子的关系 米文梅, 施军琼, 杨燕君, 杨宋琪, 何书晗, 吴忠兴(16	
骆马湖浮游植物演替规律及驱动因子 张庆吉,王业宇,王金东,王日昕,邓建明,蔡永久,彭凯,陈业,龚志军(16	
拉鲁湿地水生植物群落多样性与水环境因子的关系	
基于网络分析解析水源水库春季水体反硝化群落演变特征及驱动因素	,51
—————————————————————————————————————	566)
岱海水体氮、磷时空分布特征及其差异性分析 ····································	(76)
面两小体系、瞬间至分布特征及具差异性分价	
果彻浜岸水塘往地,似物以明化迷学及对外源恢剡的响应。	084)
镁改性芦苇生物炭控磷效果及其对水体修复 丁玉琴,李大鹏,张帅,陈丽媛,徐楚天,陈姝彤,朱企,黄勇(16	592)
氢氧化镁对水体内源磷释放的控制作用	
北京市道路雨水径流溶解性有机物化学组分特性	
新型三维多孔光热材料制备及其高盐废水处理应用 黄乐,徐颖峰,谢茜青,赵娴,冯华军(17	
Ni 掺杂 Sb-SnO ₂ 瓷环粒子电极电催化氧化磺胺嘧啶 ························ 石秋俊,刘安迪,唐柏彬,魏世强,张进忠(17	
磁性 Fe ₃ O ₄ -CuO 非均相活化过碳酸钠降解 AO7	
赤泥活化过一硫酸盐降解环丙沙星:性能和机制 史京转,魏红,周孝德,李克斌,史颖娟(17	743)
工业废水水质对微气泡臭氧化深度处理影响 张静,张守敬,刘春,施佳泽,陈晓轩,张磊,张瑞娜(17	752)
污泥水热炭对亚甲基蓝的吸附特性 陈丽媛, 李大鹏, 朱文娟, 徐楚天, 丁玉琴, 黄勇(17	761)
改性西瓜皮生物炭的制备及其对Pb(Ⅱ)的吸附特性 ·················· 毕景望,单锐,韩静,袁浩然,史月月,张兴庆(17	770)
A ² /O 短程硝化耦合厌氧氨氧化系统构建与脱氮特性 ····································	779)
基于甲烷氧化菌的城镇污水厂尾水极限脱氮系统构建及机制 杨娅男,李彦澄,李江,吴攀,杨钊,向福亮(17	
HRT 对 CSTR 亚硝化颗粒污泥性能影响 王建芳,齐泽坤,钱飞跃,刘文如,张俊,王伟,沈聪(17	
低基质颗粒污泥反应器中亚硝化的实现过程及其污泥变化特征 朱琳,程诚,宋家俊,郭凯成,汪倩,刘文如,沈耀良(18	
不同 HRT 下污水中有机物在 ABR 中的转化过程及污泥形态特征 程诚,朱琳,郭凯成,汪倩,宋家俊,刘文如,沈耀良(18	
投加颗粒活性炭和二氧化锰对剩余污泥厌氧消化的影响 杨波,贾丽娟,徐辉,李方,刘艳彪(18	
사다 cook 나가는데 있다. 나는 에 타르 후 모양 나 된다면서	310)
甲国 193 个城巾规划区土壤假量兀系污染与健康风险	025 \
基于随机森林评价的兰州市主城区校园地表灰尘重金属污染 胡梦珺, 王佳, 张亚云, 李春艳, 李娜娜(18	338)
扬州市不同功能区表层土壤中多环芳烃的含量、来源及其生态风险	34/)
桂西南土壤镉地质异常区水稻种植安全性评估 陈同斌,庞瑞,王佛鹏,周浪,宋波(18	
重庆市主要农耕区土壤 Cd 生物有效性及影响因素 王锐, 胡小兰, 张永文, 余飞, 朱海山, 李瑜(18	364)
棉秆炭对碱性水稻土壤-水稻中镉迁移转化的阻控作用 刘师豆,朱新萍,韩耀光,赵一,金航,贾宏涛(18	
连续 4 a 施有机肥降低紫泥田镉活性与稻米镉含量·············· 薛毅, 尹泽润, 盛浩, 马颢榴, 周清, 宋达清, 张杨珠(18	
纳米氢氧化镁对不同类型土壤镉形态的影响 邓继宝,张春来,徐卫红(18	
矿业废弃地复垦土壤-作物硒吸收特征及其对重金属拮抗效应 尹炳, 汪建飞, 师胜, 卜中原, 霍天满, 张世文(19	
不同生物炭对酸性农田土壤性质和作物产量的动态影响 杨彩迪,宗玉统,卢升高(19	
化肥减量有机替代对紫色土旱坡地土壤氮磷养分及作物产量的影响 朱浩宇,高明,龙翼,徐国鑫,王富华,王子芳(19	921)
紫色土旱坡地氮流失通量对减肥配施秸秆的响应	
浒苔生物炭对滨海盐碱土壤改良的效果及途径 吴丹, 孙萍, 路鹏展, 陈友媛, 郭嘉梦, 刘明, 王磊, 张彩杰(19	
极端干旱区咸水灌溉人工防护林土壤可溶性碳的垂直分布及其影响因素 孟天歌,吴路遥,张少磊,徐燕莹,李雄,张建国(19	
红松人工林土壤酶活性与化学性质对氮添加的响应 吕来新,宋蕾,刘志理,张金波,金光泽(19	
稻田土壤N.O消纳能力及 nosZ-I 型功能种群应答机制	968)
稻田土壤N ₂ O消纳能力及 nosZ-I 型功能种群应答机制 ····································	976 \
中国城市工业化发展与 $PM_{2.5}$ 的关系:兼论 EKC 曲线形成的内在机制 ················ 李雅男,丁振民,邓元杰,侯孟阳,姚顺波(19	987)
《环境科学》征订启事(1618) 《环境科学》征稿简则(1635) 信息(1724,1769,1800)	,01)



天津夏季郊区 VOCs 对臭氧生成的影响

姚青¹, 韩素芹², 张裕芬³, 毕晓辉³, 王晓佳¹, 蔡子颖¹

(1. 天津市环境气象中心, 天津 300074; 2. 天津市气象科学研究所, 天津 300074; 3. 南开大学环境科学与工程学院, 国家 环境保护城市空气颗粒物污染防治重点实验室, 天津 300350)

摘要:挥发性有机物是 O, 重要的前体物之一,在 O, 生成方面起着决定性作用. 为研究天津郊区 VOCs 特征及其对 O, 生成的 作用,利用 SyntechSpectras GC955 在线监测系统监测天津市津南区 54 种 VOCs 的浓度,并结合最大增量活性因子计算 VOCs 的臭氧生成潜力. 结果表明, 2018 年 7 月津南区 VOCs 总浓度为(32. 33 ± 23. 77) μg·m⁻³,其中烷烃质量浓度最高,芳香烃和 烯烃次之, 炔烃最低, 丙烷、乙烯和甲苯分列 VOCs 质量浓度的前 3 位. 观测期间 TVOC 的 OFP 为 107. 81 μg·m⁻³, 烯烃对 OFP 的贡献最大,为55.80%,乙烯、异戊二烯和甲苯分列 OFP 贡献率的前3位.后向轨迹分析表明,不同来向和性质的气团下 TVOC 及其 OFP 不同. VOCs/NO, 体积分数比值估算表明,观测期间 O, 生成对 VOCs 较为敏感. 乙苯/间, 对-二甲苯和乙烷/乙 炔等特定物种对浓度比值的变化表明, 3 次 O, 污染过程均伴随 VOCs 的老化过程.

关键词:挥发性有机物(VOCs); 臭氧生成潜势(OFP); 特征物种; 后向轨迹; 天津

中图分类号: X51 文献标识码: A 文章编号: 0250-3301(2020)04-1573-09 DOI: 10.13227/j. hjkx. 201908078

Effects of VOCs on Ozone Formation in the Tianjin Suburbs in Summer

YAO Qing¹, HAN Su-qin², ZHANG Yu-fen³, BI Xiao-hui³, WANG Xiao-jia¹, CAI Zi-ying¹

(1. Tianjin Environmental Meteorology Center, Tianjin 300074, China; 2. Tianjin Institute of Meteorological Science, Tianjin 300074; 3. State Environmental Protection Key Laboratory of Urban Ambient Air Particulate Pollution Prevention and Control, College of Environmental Science and Engineering, Nankai University, Tianjin 300350, China)

Abstract: Volatile organic compounds (VOCs) play an important role in the formation of ozone. The concentrations of VOCs in the Jinnan District of Tianjin were monitored by the Syntech Spectras GC955 online monitoring system, and the ozone generation potential of VOCs was calculated by the maximum incremental activity factor. The results showed that the total concentration of VOCs in the Jinnan District was (32.33 ±23.77) μg·m⁻³, in which the mass concentration of alkane was the highest, and propylene, ethylene and toluene had the highest mass concentration. During the observation period, the ozone formation potential (OFP) of TVOC was 107.81 μg·m⁻³, and the contribution of alkenes to OFP was the largest, which was 55.80%. Ethylene, isoprene, and toluene accounted for the first three places of OFP contribution rate. The backward trajectory analysis showed that TVOC and its OFPs were different under different trajectories. The estimation of VOCs/NOx volume fraction ratio showed that O3 formation was sensitive to VOCs, which showed that atmospheric photochemical pollution has a considerable degree of regional characteristics. The concentration ratio of ethylbenzene/m, p-xylene, and ethane/acetylene can be used to measure the progress of atmospheric chemical reaction and photochemical age in the air mass, which was proved by the aging process of VOC.

Key words: volatile organic compounds (VOCs); ozone formation potential (OFP); typical species; backward trajectory; Tianjin

近年来伴随着工业和城市交通快速发展,大量 化石燃料消耗,京津冀和长三角珠三角等城市群呈 现区域性复合型大气污染特征,颗粒物和臭氧污染 成为我国当前面临的主要大气环境问题. 随着一系 列大气污染防治和控制措施的开展,部分重点地区 颗粒物污染得到初步遏制,臭氧逐步取代 PM,,成为 首要污染物,文献[1]显示 2018 年京津冀及周边地 区有 46.0% 的超标日首要污染物为 03,长三角地区 这一比例则高达 49.3%, 均超过 PM25. 有研究表明, 京津冀区域城市和背景地区 0,浓度呈逐年递增趋 势^[2],这与 PM_{2.5}浓度下降,太阳辐射强度增大有 关[3]. 挥发性有机化合物(volatile organic compound, VOCs)大多以气态形式存在,能透过人体的呼吸系 统和皮肤进入人体,引发人体健康问题,同时作为二 次有机气溶胶和臭氧的重要前体物,参与大气光化 学反应,严重影响大气环境质量[4]. 研究环境大气 中 VOCs 的浓度分布与组成特征,估算其 O3 生成潜 势(ozone formation potential, OFP)有助于深入认识 O, 的生成过程,以及制定科学合理可行的 O, 控制 策略. Li 等[5] 采用中国地区 1990~2017 年非甲烷 VOCs 排放清单的分析表明,与 2013~2017 年期间 SO₂、NO_x和PM等主要空气污染物的排放量大幅 减少相比, NMVOC 排放量及其 OFP 变化相对平稳, 芳香烃(43%)和烯烃(37%)是 OFP 的主要贡献 者,这可能导致同期 O,浓度增加. 国内大量研究估 算了城市、乡村和工业园区等不同点位 VOCs 对

收稿日期: 2019-08-09; 修订日期: 2019-11-15

基金项目: 天津市生态环境治理科技重大专项(18ZXSZSF00160); 中国气象局预报员专项(CMAYBY2019-007)

作者简介:姚青(1980~),男,硕士,高级工程师,主要研究方向 为大气环境与大气化学, E-mail:yao.qing@163.com

OFP 的贡献,各地 VOCs 组成各异,对 OFP 贡献的优 势物种也不尽相同. 成都双流夏秋季 VOCs 的化学 反应消耗速率的计算表明, 芳香烃和烯烃的反应活 性最大,苯乙烯、间,对-二甲苯和异戊二烯等反应活 性最强[6]. 盛涛等[7]在上海某石化园区周边区域的 观测显示, 烯烃和炔烃对 OFP 的贡献最高, 丙烯、 反-2-丁烯和乙烯是关键的活性组分. 纪德钰[8]在大 连地区的观测显示芳香烃对该地区 OFP 的贡献最 大,其优势物种为乙烯、间-乙基甲苯和对-乙基甲 苯,这可能与该站点临近区域有大量石油化工园区 有关. Yang 等[9] 在位于北京怀柔的中国科学院大学 校园内的观测分析表明,冬季减少燃煤消耗,有助于 降低 VOCs 排放. 大气中各类 VOC 具有不同的光化 学活性,特定 VOCs 的体积比,如甲苯/苯、乙苯/间, 对-二甲苯和乙烷/乙炔等特定物种对浓度比值的变 化,可用于衡量气团中大气化学反应进度和光化学 年龄, 并判断其来源[10~16]. 王鸣等[17] 对北京、上海 和广州等典型城市甲苯/苯分析表明,北京夏季该比 值与隧道实验接近,表明机动车尾气的重要性,成 都、重庆和北京冬季显著低于隧道实验结果,表明其 还受到煤和生物质燃烧等影响,上海和广州则高于 隧道实验值,与溶剂涂料使用有关.解鑫等[18]选取 乙苯和间,对-二甲苯的浓度比值作为光化学指数, 来考察大气光化学进程,结果表明广州市区气团经 历的光化学进程越久,臭氧浓度越高.天津作为我国 北方重要的工业城市,石化工业发达,城市交通近来 年快速发展,汽车保有量逐年增加,大气环境问题日 益突出. 近年来通过不断治理,空气中 PM,5质量浓 度逐年降低,但与 2013 年相比, 2018 年全市 0, 浓 度上升33.1%[19]. 以往研究多关注天津中心城区 VOCs 的组成特征及其 OFP 等[20~22],对郊区关注很 少,张新民等[23]2006年夏季在天津武清的观测表 明,郊区与城区相比大气 VOCs 不仅组成不同,化学 活性物种也不同. 在京津冀区域协同发展和大气污 染区域性特征增强的背景下,郊区与城区界限逐渐 模糊,有必要开展郊区 VOCs 的监测和分析,以利于 0。的精准治理. 本文采用在线色谱仪观测天津市津 南区的 VOCs 浓度水平与组成特征,并计算其臭氧 生成潜势,利用特征组分的相关性探讨 VOCs 在 O, 生成的作用,以期为天津市 VOCs 和 O, 的治理提供 技术支持.

1 材料与方法

采样点位于南开大学津南校区,该校区位于天 津市津南区海河教育园内.津南区系天津市环城四 区之一,地处市区东南方向,位于天津市区和滨海新 区中间,地理位置如图 1 所示,津南校区主要为科教和居住用地,四周有工业园和高速公路分布 [24].本次观测时间为 2018 年 7 月 1 ~ 31 日,期间津南区平均气温为 (28.8 ± 3.3) $^{\circ}$ 、相对湿度为 (71 ± 12)%,风速为 (1.8 ± 0.8) $^{\circ}$ m·s $^{-1}$, 主导风向为东-东南风,发生频率为 67%,月降水量为 149.5 mm,其中7月的 8、13、17 和 24 日有中雨及以上量级 (24 h降水量 \geq 10 mm) 降水发生. 津南区常年 (1981 ~ 2010 年) 7月平均气温为 (26.5 ± 1.0) $^{\circ}$,相对湿度为 (76 ± 5)%,风速为 2.5 m·s $^{-1}$,月降水量为 141.6 mm,最多风向为东南风 (发生频率 13%). 与常年平均值相比,观测期间气温偏高,相对湿度偏低,风速偏低,高温低湿小风的气象条件有利于 $^{\circ}$ 。生成 [25].



Fig. 1 Location of the sampling site in Tianjin

采用荷兰 SYNSPEC 公司生产的 SyntechSpectras GC955 在线监测系统分析 54 种 VOCs,其中27种烷烃,10种烯烃,1种炔烃和16 种芳香烃,时间分辨率为1h. 检测器采用光离子化 检测器(PID)和火焰离子化检测器(FID),使用双检 测器以确保分析的高灵敏度和高选择性,各 VOC 的 检测限见文献[18]. 观测期间每周进行一次校正, 标气由美国光谱特种气体公司(Spectra Gases Inc.) 提供,含有54种组分,标气浓度为1×10⁻⁶体积分 数,经 DIM200 稀释至 10×10⁻⁹体积分数用以仪器 校准,N,作为平衡气.剔除观测期间因标定、断电和 维护等造成的缺测值和异常值后,可用数据时长为 729 h,资料有效率为 98.0%. 采用 TE 49i 和 42i 分 析仪观测 O, 和 NO2 等大气污染物,温度、相对湿 度、风向、风速等气象资料采用津南国家一般气象站 (北纬 38°59′, 东经 117°22′, 海拔高度 3.7 m, 台站 编号:54622)数据,观测数据均经过严格的质量控 制,两站点相距1km,地形和环境一致性较好.

2 结果与讨论

2.1 VOC 组成与日变化特征

天津地区夏季多高温和降水天气,高温和强

辐射天气有利于 O_3 生成, 2018 年 7 月全市共有 15 d O_3 达到轻度或中度污染程度, 其中 7 月的 4、5、21 和 22 日为中度污染. 表 1 给出了观测期 间各 VOCs 的平均质量浓度及其标准偏差, 观测期间 VOCs 总浓度为(32.33 ± 23.77) $\mu g \cdot m^{-3}$, 其中烷烃质量浓度最高, 为(19.09 ± 16.21) $\mu g \cdot m^{-3}$,芳香烃次之, 质量浓度为(5.92 ± 5.10) $\mu g \cdot m^{-3}$,烯 烃 与 之 相 当,为(5.90 ± 6.98)

μg·m⁻³, 炔烃最低, 仅有乙炔, 为(1.42 ± 3.64) μg·m⁻³, 各类 VOC 的标准偏差较大, 表明 VOCs 浓度波动很大. 本次观测值低于天津 2012 年夏季 BTEX 浓度^[26], 与采样地点位于大学城, 工业和机动车等污染源排放量较低有关, 此外观测期间多东南风, 采样点处于城区的上风向, 较少受到城区 VOCs 的影响, 这些可能都是造成本次观测 VOCs 浓度较低的主要原因.

表 1 观测期间各 VOCs 的平均质量浓度及其标准偏差

Table 1 Mass concentration and standard deviation of VOCs during the observation period

类别	物种	平均浓度 ± 标准差/μg·m -3	类别	物种	平均浓度 ± 标准差/μg·m ⁻³
	乙烷	1.31 ± 2.06		乙烯	3.66 ± 5.78
	丙烷	4.33 ± 3.71		丙烯	0.80 ± 2.16
	正丁烷	1.17 ± 1.71		正丁烯	0.01 ± 0.05
	异丁烷	0.32 ± 0.48		顺-2-丁烯	0.28 ± 0.17
	正戊烷	1.48 ± 1.62		反-2-丁烯	0.17 ± 0.93
	异戊烷	1.97 ± 3.26	烯烃	1-戊烯	0.02 ± 1.04
	环戊烷	0.93 ± 3.43		顺-2-戊烯	0.01 ± 0.03
	2-甲基戊烷	2.18 ± 1.50		反-2-戊烯	0.01 ± 0.01
	甲基环戊烷	1.22 ± 3.68		1-己烯	0.01 ± 0.02
	3-甲基戊烷	0.08 ± 0.11		异戊二烯	1.02 ± 1.04
	2,3-二甲基丁烷	0.15 ± 0.25	5	合计	5.90 ± 6.98
_	2,2-二甲基丁烷	0.04 ± 0.12	į.	苯	1.28 ± 1.07
/ 1	2,4-二甲基戊烷	0.09 ± 0.16		甲苯	2.61 ± 2.49
烷烃	2,3,4-三甲基戊烷	0.34 ± 0.49		乙苯	0.48 ± 0.41
7967.11.	2,2,4-三甲基戊烷	0.65 ± 0.60		邻-二甲苯	0.43 ± 0.42
)(2,3-二甲基戊烷	0.01 ± 0.05	V	间,对-二甲苯	0.68 ± 0.65
1-1	/ 正已烷 /=	1.91 ± 1.76	(苯乙烯	0.08 ± 0.16
B V	环己烷	0.15 ± 0.26	2	正丙苯	0.03 ± 0.22
1.	3-甲基己烷	0.30 ± 0.66		异丙苯	0.05 ± 0.19
(*/	2-甲基己烷	0.07 ± 0.17	芳香烃	间-乙基甲苯	0.07 ± 0.24
1	甲基环己烷	0.03 ± 0.29		对-乙基甲苯	0.01 ± 0.23
	正庚烷	0.28 ± 0.73		邻-乙基甲苯	0.02 ± 0.31
	2-甲基庚烷	0.03 ± 0.53		1,2,3-三甲苯	0.02 ± 0.24
	3-甲基庚烷	0.09 ± 0.21		1,2,4-三甲苯	0.10 ± 0.30
	正辛烷	0.16 ± 0.28		1,3,5-三甲苯	0.01 ± 0.20
	正壬烷	0.03 ± 0.19		间-二乙苯	0.03 ± 0.31
	正葵烷	0.15 ± 0.79		对-二乙苯	0.01 ± 0.34
	合计	19.09 ± 16.21		合计	5.92 ± 5.10
炔烃	乙炔	1.42 ± 3.64	TVOC		32.33 ± 23.77

源排放特征、化学转化和区域传输等因素都会影响 VOCs 的分布与组成^[27,28],如图 2 所示, VOCs 质量浓度的日变化特征呈单峰分布, 受夜间消耗降低、边界层结构不利于扩散等因素影响, VOCs 夜间逐步积累, 最高值发生在 05:00, 随着太阳辐射强度增大, 大气光化学反应增强, 大量 VOCs 参与光化学反应, 同时边界层结构和大气扩散条件有利于 VOCs 扩散, VOCs 浓度至 14:00 降至最低, 烷烃、烯炔烃和芳香烃都遵循类似的日变化特征. 选取质量浓度最高的 3 种烷烃和烯烃, 以及研究较多的苯系物(BTEX)作为典型 VOCs, 图 3 给出了其日变化特征, 丙烷和异戊烷的日变化特征相似, 呈现近似单峰

分布,峰值发生在 05:00 前后, 16:00 出现谷值, 2-甲基戊烷常用作溶剂、有机合成中间体和化学试剂, 其峰值出现在 13:00,可能与采样点处于大学校园内,存在实验室溶剂挥发等因素有关. 丙烯和苯系物具有较高的 MIR,其日变化特征主要受大气光化学反应影响,在太阳辐射强烈的白昼,尤其是午后,快速消耗,在夜间迅速积累. 异戊二烯主要来自于植物排放,白昼随温度升高和光照增强,排放速率加快,在12:00 其质量浓度达到峰值,其后受大气光化学反应的消耗,浓度逐渐降低. 乙烯的日变化特征很不规律,需要结合采样点周边排放源等因素做进一步分析.

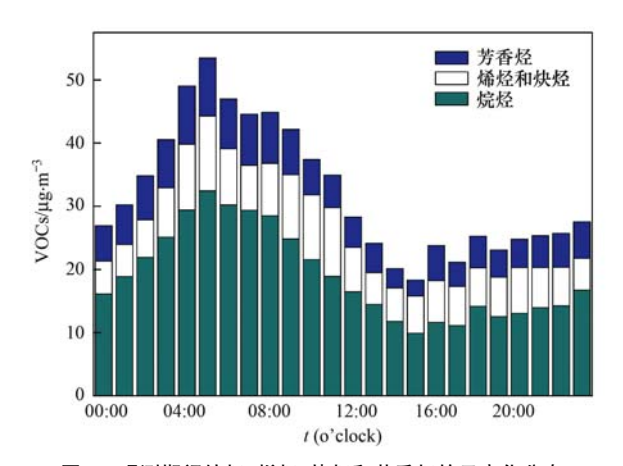


图 2 观测期间烷烃、烯烃、炔烃和芳香烃的日变化分布 Fig. 2 Diurnal variation distribution of alkane, alkene, alkynes, and aromatic hydrocarbons during the observation period

2.2 OFP 特征

VOCs 作为对流层 O₃ 的重要前体物,其光化学 反应活性和臭氧生成潜力研究受到广泛重视,研究 表明芳香烃和烯烃的臭氧生成潜势量显著高于烷烃、卤代烃和含氧有机化合物. VOCs 的臭氧生成潜力取决于含碳数浓度、动力学活性和机理活性,通常采用 VOCs 与·OH的反应速率作为 VOCs 的动力学活性,采用 VOCs 被氧化为过氧自由基后与 NO 的反应速率来表征其机制活性,本文采用最大增量活性因子(maximum incremental reactivity, MIR)来表征 VOCs 的臭氧生成潜力,

臭氧生成潜势的计算方法如下^[29]

$$OFP_i = MIR_i \times [VOCs]_i$$

式中,OFP_i 为组分 i 的最大臭氧生成潜势量,单位为 μ g·m⁻³;MIR_i 为组分 i 的最大增量反应活性,引用自 Carter 的研究^[30]; [VOCs]_i 为各组分 i 的质量浓度,单位为 μ g·m⁻³.

观测期间平均 OFP 为 107. 81 μg·m⁻³, VOCs 平均 MIR 为 3.3 μg·μg⁻¹, 略高于乙苯的 MIR (3.04 μg·μg⁻¹),与上海某石化周边居民区^[7]接近,说明本地区 VOCs 具有较强的化学反应活性,这可能与该站点位于天津中心城区和滨海新区,周边分布有多家石油化工企业和工业园有关. 图 4 给出了观测期间 VOC 质量浓度及其 OFP 前 10 位的物种,前 10位 VOCs 占 VOCs 总质量浓度的 68.54%,丙烷、乙烯和甲苯分列 VOC 质量浓度的前 3位;前 10位 VOCs的 OFP 占总 OFP的 78.75%,乙烯、异戊二烯和甲苯分列 OFP 贡献率的前 3位,其中乙烯对 O₃生成潜势的贡献率超过了 30%,这与其较高的质量浓度和高 MIR 有关. 乙烯质量浓度占 TVOC 的 11.3%,并且其 MIR(9)远高于 VOC 平均 MIR(3.33).

观测期间烷烃、烯烃、炔烃和芳香烃的 OFP 依

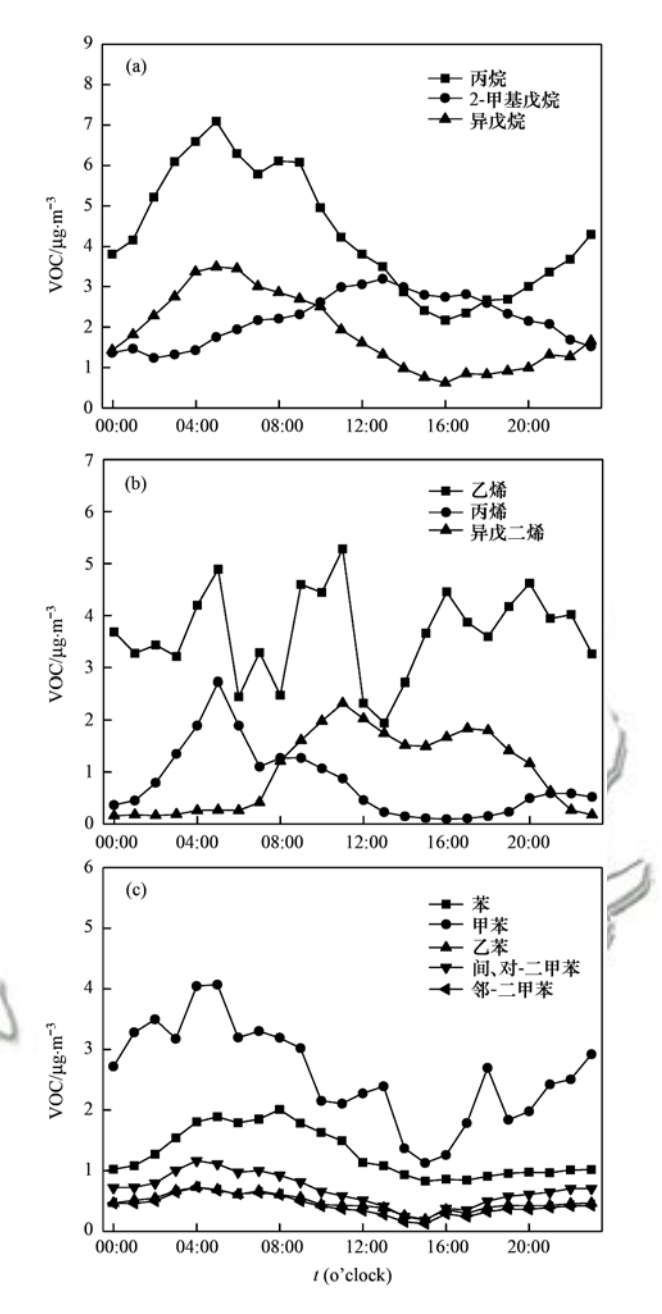


图 3 典型 VOC 质量浓度的日变化分布

Fig. 3 Diurnal variation distribution of typical VOC mass concentration

次为 22. 44、60. 16、1. 36 和 23. 86 μg·m⁻³,烯烃对 OFP 的贡献最大,为 55. 80%,芳香烃与烷烃的贡献 相当,考虑到芳香烃质量浓度仅为烷烃的 30% 左右,其 OFP 贡献主要与其高 MIR 有关.不同类别 VOCs 的 OFP 日变化分布情况见图 5 所示,与 VOCs 质量浓度的日变化特征类似,OFP 呈近似的单峰分布,白昼随着太阳辐射强度增大,大气光化学反应增强,大量 VOCs 参与光化学反应,其 OFP 逐渐消耗,至 14:00 降至最低,与 VOCs 日变化分布特征的差异主要在于烯烃和烷烃的 OFP 所占比例不同,这主要由两类 VOCs 的 MIR 差异导致.

观测期间津南地区常伴有高温和强辐射天气,

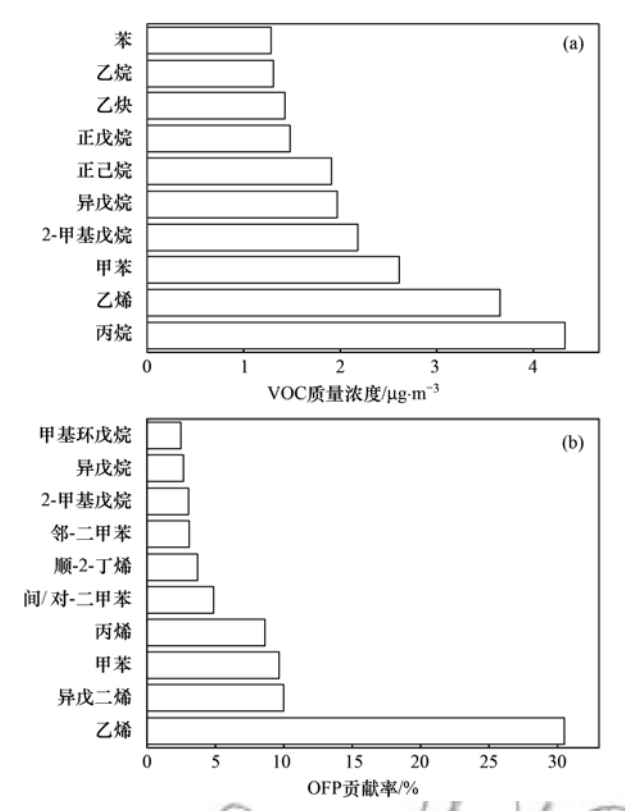


图 4 观测期间 VOC 质量浓度及其 OFP 前 10 位的物种

Fig. 4 Mass concentration of the ten most abundant species of VOCs and its OFP during the observation period

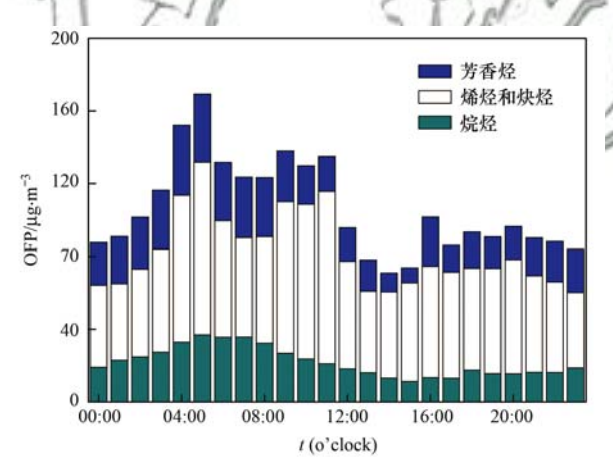


图 5 不同类别 VOCs 臭氧生成潜势的日变化分布

Fig. 5 Diurnal variation distribution of ozone generation potential in different categories of VOCs

有助于 VOCs 的挥发和大气光化学反应,而不同来向和性质的气团下 VOCs 的浓度和组成存在差异^[31],并对其 OFP 产生影响. 本研究采用美国国家海洋和大气局(NOAA)等研发的,提供质点轨迹、扩散及沉降分析使用的综合模式 HYSPLIT-4(http://ready. arl. noaa. gov/HYSPLIT_traj. php)分析天津气流后向轨迹,轨迹模式所采用的气象资料是美国国家环境预报中心(NCEP)的全球分析资料,并经过美国国家海洋和大气管理局空气资源实验室(NOAA-Air Resources Laboratory)的预处理模块转

化成模式所需要的格式. 以南开大学津南校区 (N39°00′, E117°20′,海拔高度3.7 m)为参考点,选 取200 m作为高度层,计算观测期内每日00:00、 06:00、12:00 和 18:00 (UTC) 的后向轨迹, 追踪抵 达天津的气团过去 48 h 的轨迹,并进行聚类分析 (图6),各轨迹对应的TVOC和O,浓度及OFP见图 7. 从聚类结果可见, 4 类气团轨迹数目大致相当, 各类轨迹下的 TVOC 和 O, 浓度及 OFP 存在显著不 同,其中第1类轨迹来自东南方向的海上,途经山 东半岛等地,第2类轨迹气流较短,来自辽东半 岛,途经渤海,这2类轨迹下TVOC浓度较低,OFP 也是各类轨迹中最低的,与其途经海洋等洁净地 区有关. 第3和第4类轨迹为偏南气流,全部来自 和途经陆地, TVOC 浓度及其 OFP 较高, 区别在于 第4类轨迹贴地,且轨迹较长,因而TVOC浓度及 其 OFP 高于第 3 类轨迹. O, 浓度分布特征大致相 同,主要差异在于第2类轨迹下0,浓度较高,这 可能与沿海地区的边界层结构和海陆风输送有 关. 0, 浓度增高一般受大气光化学反应和污染气 团水平输送共同影响,有研究表明,垂直输送(如 夹卷等)也是边界层内 0, 的一个重要来源, 戚慧 雯等[32]采用化学-地表-大气-土壤(CLASS)模式评 估表明,自由大气中0,浓度达到一定值时,夹卷 作用对 O。浓度的影响与大气光化学反应相当,此 外强风切变产生的机械对流可引起边界层内气团 的垂直混合,有利于高层臭氧向低层输送[33],第2 类轨迹影响下 VOCs 浓度较低, 而 O, 浓度偏高, 是 否与沿海边界层内频繁的热力和动力交换有关, 需要结合探空资料进行进一步分析.

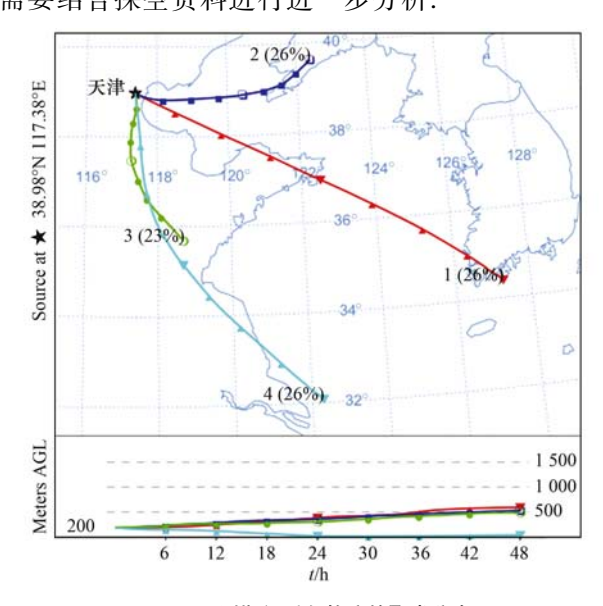


图 6 观测期间后向轨迹的聚类分布

Fig. 6 Mean back trajectories caused by the cluster analysis during the observation period

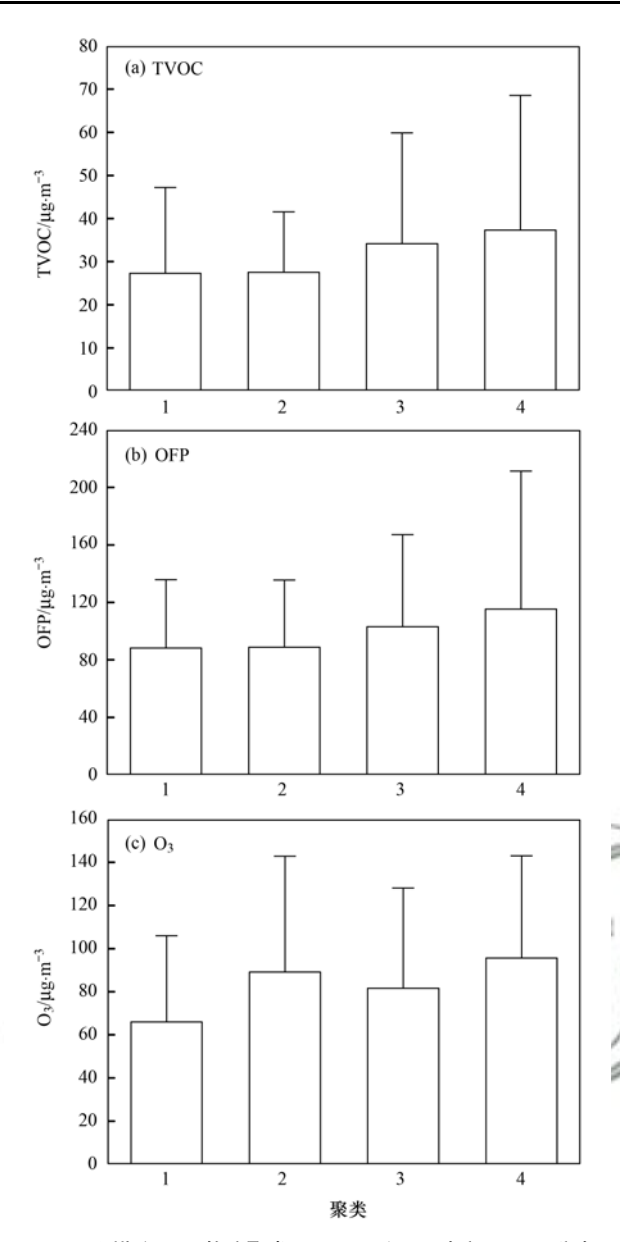


图 7 观测期间不同轨迹聚类下 TVOC 和 O₃ 浓度及 OFP 分布 Fig. 7 Average pollutant concentrations and OFP with standard error of the mean for different clusters during the observation period

2.3 光化学指数分析

对流层大气中 O₃ 的光化学反应生成量,取决于 NO_x 和 VOCs 对·OH的争夺. 城市典型大气条件下 VOCs/NO_x 体积分数比值为 5.5,当 OH 自由基与 NO_x 和 VOCs 的反应速率相等时, O₃ 浓度最高,这一比值低于 5.5 时, NO_x 与 OH 自由基的反应快于 VOCs, O₃ 生成对 VOCs 较为敏感,反之则 O₃ 生成对 NO_x 较为敏感,该方法可用于快速判断大气中 O₃ 浓度与 NO_x 和 VOCs 的关系^[29]. 图 8 给出了 VOCs 和 NO_x 体积分数的散点图,可见所有的观测样本 VOCs/NO_x 体积分数比值均低于 5.5,表明观测期间 O₃ 生成对 VOCs 较为敏感,本研究与杨笑笑等在南京夏季市区的观测结果一致^[29],岳婷婷等^[34]于 2006 年在天津武清的观测分析显示,与城

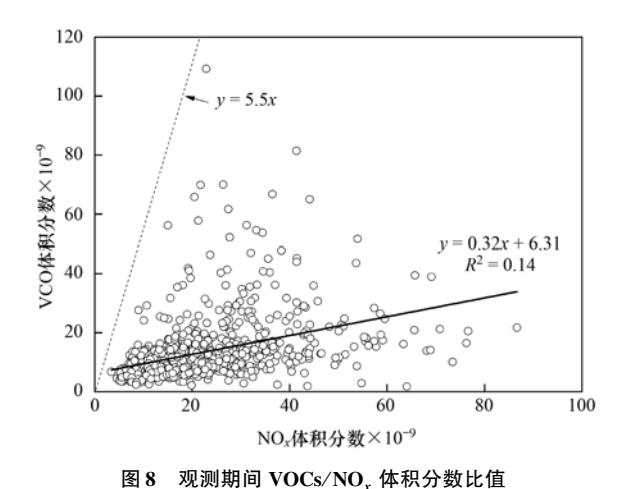


Fig. 8 Ratio of VOCs/NO_x volume fraction during

Fig. 8 Ratio of VOCs/NO_x volume fraction during the observation period

区不同,该地区 O_3 对 NO_4 更为敏感,这可能与当时武清尚处于开发阶段,大气污染区域性不强有关.

大气中各类 VOC 具有不同的光化学活性,甲 苯/苯、乙苯/间,对-二甲苯和乙烷/乙炔等特定物种 对浓度比值的变化主要取决于其大气光化学过程, 可用于衡量气团中大气化学反应进度和光化学年 龄[16]. 选取某些特定 VOC 的浓度比值作为光化学 指数,可以通过比例关系消除大气物理传输的影响. 乙苯[$k_{.OH} = 7 \times 10^{-12} \text{ cm}^3 \cdot (\text{molecule} \cdot \text{s})^{-1}]$ 和间, 对-二甲苯[$k_{\cdot,\mathrm{OH}} = 21 \times 10^{-12} \,\mathrm{cm}^3 \cdot (\mathrm{molecule} \cdot \mathrm{s})^{-1}$] 的浓度比值(E/m,p-X)常作为特定的物种对^[18],来 考察大气光化学进程. 图 9 给出了观测期间乙苯和 间,对-二甲苯质量浓度的散点图及其拟合关系,两 者显著相关($R^2 = 0.91$)表明其具有相似的来源,乙 苯和间,对-二甲苯从同一污染源排放到大气中,因 为间,对-二甲苯比较活泼,随着它们在大气中逐渐 消耗, E/m,p-X 越来越高,进而表明气团经历的化 学进程较长. 从图 10(a)中可以看出,观测期内发生 了 3 次 O, 逐渐增高的污染过程(P1、P2 和 P3), E/ m,p-X 与 O_3 具有近似的日变化特征, 图 10(b) 进 一步显示了 3 次污染过程中 E/m, p-X 与 O_3 质量浓 度具有较好的正相关性,0,浓度越高,气团经历的 化学进程越长, E/m, p-X 越高, 3次 O, 污染过程均 伴随 VOCs 的老化过程. E/E (乙烷和乙炔的体积 分数之比)常用来评价气团光化学年龄长短[35]. 隧 道实测结果显示,新鲜机动车尾气污染气团中 E/E 比值为 0.47 ± 0.26^[36],因乙炔更加活泼,在大气化 学反应中消耗更快,随着光化学进程发展,该值逐渐 增大. 观测期间 E/E 平均值为 0.80, 与上海夏季观 测结果[35]相当,表明存在大气变性老化现象,这与 E/m, p-X 的分析结果一致.

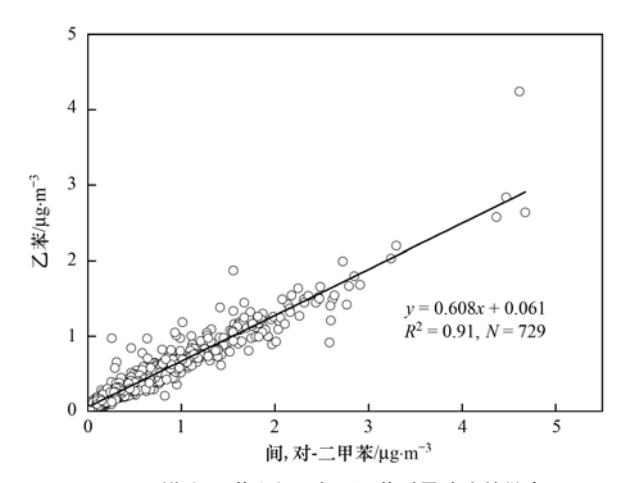
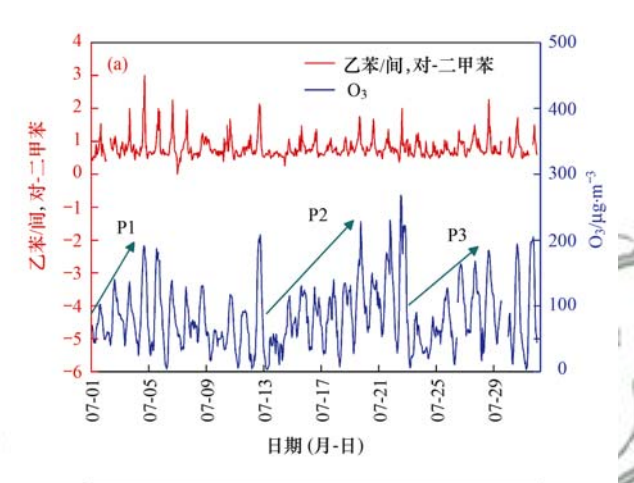


图 9 观测期间乙苯和间,对-二甲苯质量浓度的散点图

Fig. 9 Fitting relation of ethylbenzene and m,p-xylene during the observation period



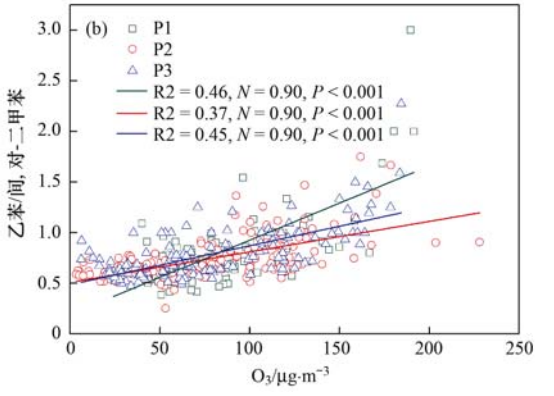


图 10 观测期间乙苯/间,对-二甲苯与臭氧的时间序列及其相关性

Fig. 10 Time series and correlation of ethylbenzene to *m*, *p*-xylene ratio, and ozone mass concentration during observation period

3 结论

(1) 2018 年 7 月津南区 VOCs 总浓度为(32.33 ± 23.77) μg·m⁻³, 其中烷烃质量浓度最高, 为(19.09 ± 16.21) μg·m⁻³, 芳香烃和烯烃次之, 炔烃最低, 丙烷、乙烯和甲苯分列 VOC 质量浓度的前 3位; 受大气光化学反应强度、边界层结构等气象因素影响, VOCs 质量浓度的日变化特征呈单峰分布, 2-

甲基戊烷、异戊二烯和乙烯的日变化特征受来源影响,与多数 VOCs 不同.

- (2) 观测期间 TVOC 的 OFP 为 107.81 μg·m⁻³,平均 MIR 为 3.3 μg·μg⁻¹,烷烃、烯烃、炔烃和芳香烃的 OFP 依次为 22.44、60.16、1.36 和 23.86 μg·m⁻³,烯烃对 OFP 的贡献最大,为55.80%,芳香烃与烷烃的贡献相当,乙烯、异戊二烯和甲苯分列 OFP 贡献率的前 3 位,不同类别 VOCs 的 OFP 日变化分布特征与 VOCs 质量浓度的日变化类似.后向轨迹分析表明,不同来向和性质的气团下 TVOC 及其 OFP 不同,偏南气流下 VOCs 浓度较高.
- (3) 观测样本 VOCs/NO_x 体积分数比值低于 5.5,表明观测期间 O₃ 生成对 VOCs 较为敏感. 乙苯/间,对-二甲苯和乙烷/乙炔等特定物种对浓度比值的变化,可用于衡量气团中大气化学反应进度和 光化学年龄,观测发现 3 次 O₃ 污染过程均伴随 VOC 的老化过程.

参考文献:

- [1] 中华人民共和国生态环境部. 2018 中国生态环境状况公报 [EB/OL]. http://www. mee. gov. cn/home/jrtt_1/201905/ t20190529_704841.shtml, 2019-05-29.
- [2] 王玫, 郑有飞, 柳艳菊, 等. 京津冀臭氧变化特征及与气象要素的关系[J]. 中国环境科学, 2019, **39**(7): 2689-2698. Wang M, Zheng Y F, Liu Y J, et al. Characteristics of ozone and its relationship with meteorological factors in Beijing-Tranjin-Hebei Region[J]. China Environmental Science, 2019, **39**(7): 2689-2698.
- [3] 刘长焕,邓雪娇,朱彬,等. 近 10 年中国三大经济区太阳总辐射特征及其与 0_3 、 $PM_{2.5}$ 的关系[J]. 中国环境科学, 2018, 38(8): 2820-2829.
 - Liu C H, Deng X J, Zhu B, et al. Characteristics of GSR of China's three major economic regions in the past 10 years and its relationship with $\rm O_3$ and $\rm PM_{2.5}$ [J]. China Environmental Science, 2018, 38(8): 2820-2829.
- [4] Fishbein L. An overview of environmental and toxicological aspects of aromatic hydrocarbons. I. Benzene[J]. Science of the Total Environment, 1984, 40(1): 189-218.
- [5] Li M, Zhang Q, Zheng B, et al. Persistent growth of anthropogenic non-methane volatile organic compound (NMVOC) emissions in China during 1990-2017; drivers, speciation and ozone formation potential [J]. Atmospheric Chemistry and Physics, 2019, 19(13); 8897-8913.
- [6] 邓媛元,李晶,李亚琦,等. 成都双流夏秋季环境空气中 VOCs 污染特征[J]. 环境科学, 2018, **39**(12): 5323-5333. Deng Y Y, Li J, Li Y Q, *et al*. Characteristics of ambient VOCs at the Shuangliu site in Chengdu, China, during summer and autumn[J]. Environmental Science, 2018, **39**(12): 5323-5333
- [7] 盛涛, 陈筱佳, 高松, 等. 上海某石化园区周边区域 VOCs 污染特征及健康风险 [J]. 环境科学, 2018, **39**(11): 4901-4908.

Sheng T, Chen X J, Gao S, *et al.* Pollution characteristics and health risk assessment of VOCs in areas surrounding a petrochemical park in Shanghai [J]. Environmental Science, 2018, **39**(11): 4901-4908.

- [8] 纪德钰. 大连地区夏季非甲烷烃(NMHC)特征及其来源解析 [J]. 环境科学, 2018, **39**(8): 3535-3543. Ji D Y. Characteristics and source analysis of non-methane hydrocarbons (NMHC) in Dalian[J]. Environmental Science, 2018, **39**(8): 3535-3543.
- [9] Yang W Q, Zhang Y L, Wang X M, et al. Volatile organic compounds at a rural site in Beijing: influence of temporary emission control and wintertime heating [J]. Atmospheric Chemistry and Physics, 2018, 18(17): 12663-12682.
- [10] Li B W, Ho S S H, Gong S L, et al. Characterization of VOCs and their related atmospheric processes in a central Chinese city during severe ozone pollution periods[J]. Atmospheric Chemistry and Physics, 2019, 19(1): 617-638.
- [11] Liu Y, Shao M, Fu L L, et al. Source profiles of volatile organic compounds (VOCs) measured in China; Part I[J]. Atmospheric Environment, 2008, 42(25); 6247-6260.
- [12] Yan Y L, Peng L, Li R M, et al. Concentration, ozone formation potential and source analysis of volatile organic compounds (VOCs) in a thermal power station centralized area: a study in Shuozhou, China[J]. Environmental Pollution, 2017, 223: 295-304.
- [13] Huang Y, Ling Z H, Lee S C, et al. Characterization of volatile organic compounds at a roadside environment in Hong Kong; an investigation of influences after air pollution control strategies [J]. Atmospheric Environment, 2015, 122: 809-818.
- [14] Akagi S K, Yokelson R J, Wiedinmyer C, et al. Emission factors for open and domestic biomass burning for use in atmospheric models [J]. Atmospheric Chemistry and Physics, 2011, 11(9): 4039-4072.
- [15] Zhang Z, Wang X M, Zhang Y L, et al. Ambient air benzene at background sites in China's most developed coastal regions: exposure levels, source implications and health risks [J]. Science of the Total Environment, 2015, 511: 792-800.
- [16] Nelson P E, Quigley S M. The m,p-xylenes; ethylbenzene ratio. A technique for estimating hydrocarbon age in ambient atmospheres [J]. Atmospheric Environment (1967), 1983, 17 (3): 659-662.
- [17] 王鸣,陈文泰,陆思华,等. 我国典型城市环境大气挥发性有机物特征比值[J]. 环境科学, 2018, **39**(10): 4393-4399. Wang M, Chen W T, Lu S H, *et al.* Ratios of volatile organic compounds in ambient air of various cities of China [J]. Environmental Science, 2018, **39**(10): 4393-4399.
- [18] 解鑫, 邵敏, 刘莹, 等. 大气挥发性有机物的日变化特征及在臭氧生成中的作用——以广州夏季为例[J]. 环境科学学报, 2009, **29**(1): 54-62.

 Xie X, Shao M, Liu Y, *et al.* The diurnal variation of ambient VOCs and their role in ozone formation: case study in summer in Guangzhou[J]. Acta Scientiae Circumstantiae, 2009, **29**(1):
- [19] 天津市生态环境局. 2018 天津市生态环境状况公报[EB/OL]. http://sthj. tj. gov. cn/root16/mechanism/hjjcc/201906/t20190605_35585. html, 2019-06-05.
- [20] 卢学强, 韩萌, 冉靓, 等. 天津中心城区夏季非甲烷有机化合物组成特征及其臭氧产生潜力分析[J]. 环境科学学报, 2011, **31**(2): 373-380.

 Lu X Q, Han M, Ran L, *et al.* Characteristics of nonmethane organic compounds and their ozone formation potentials in downtown Tianjin in summer[J]. Acta Scientiae Circumstantiae,
- [21] 翟增秀, 邹克华, 李伟芳, 等. 天津中心城区环境空气挥发性有机物污染特征分析[J]. 环境科学, 2013, 34(12);

2011, **31**(2): 373-380.

- 4513-4518.
- Zhai Z X, Zou K H, Li W F, et al. Pollution characterization of volatile organic compounds in ambient air of Tianjin downtown [J]. Environmental Science, 2013, 34(12): 4513-4518.
- [22] 姚青, 蔡子颖, 马志强, 等. 天津大气中 BTEX 的变化特征 与健康风险评估[J]. 中国环境科学, 2017, **37**(9): 3276-3284.
 - Yao Q, Cai Z Y, Ma Z Q, *et al.* Variation characteristics and health risk assessment of BTEX in Tianjin [J]. China Environmental Science, 2017, **37**(9): 3276-3284.
- [23] 张新民, 柴发合, 岳婷婷, 等. 天津武清大气挥发性有机物 光化学污染特征及来源[J]. 环境科学研究, 2012, 25(10): 1085-1091.
 - Zhang X M, Chai F H, Yue T T, et al. Photochemical characteristics and sources of volatile organic compounds in Wuqing, Tianjin [J]. Research of Environmental Sciences, 2012, 25(10): 1085-1091.
- [24] 温杰, 史旭荣, 田瑛泽, 等. 利用 SPAMS 研究天津市夏季环境空气中细颗粒物化学组成特征[J]. 环境科学, 2018, **39** (8): 3492-3501.

 Wen J, Shi X R, Tian Y Z, et al. Analysis of chemical
 - composition of the fine particulate matter in summer in Tianjin city via a single particle aerosol mass spectrometer (SPAMS) [J]. Environmental Science, 2018, 39(8): 3492-3501.
- [25] 姚青, 獎文雁, 黄鹤, 等. 天津夏季地面 O₃ 浓度变化规律与影响因素[J]. 生态环境学报, 2009, **18**(1): 12-16 Yao Q, Fan W Y, Huang H, *et al.* Surface ozone characteristics and the correlated factors in summer in Tianjin[J]. Ecology and Environmental Sciences, 2009, **18**(1): 12-16.
- [26] 姚青, 韩素芹, 蔡子颖, 等. 2012 年夏季天津城区 BTEX 污染特征与臭氧潜势分析[J]. 中国环境科学, 2013, **33**(5): 793-798.

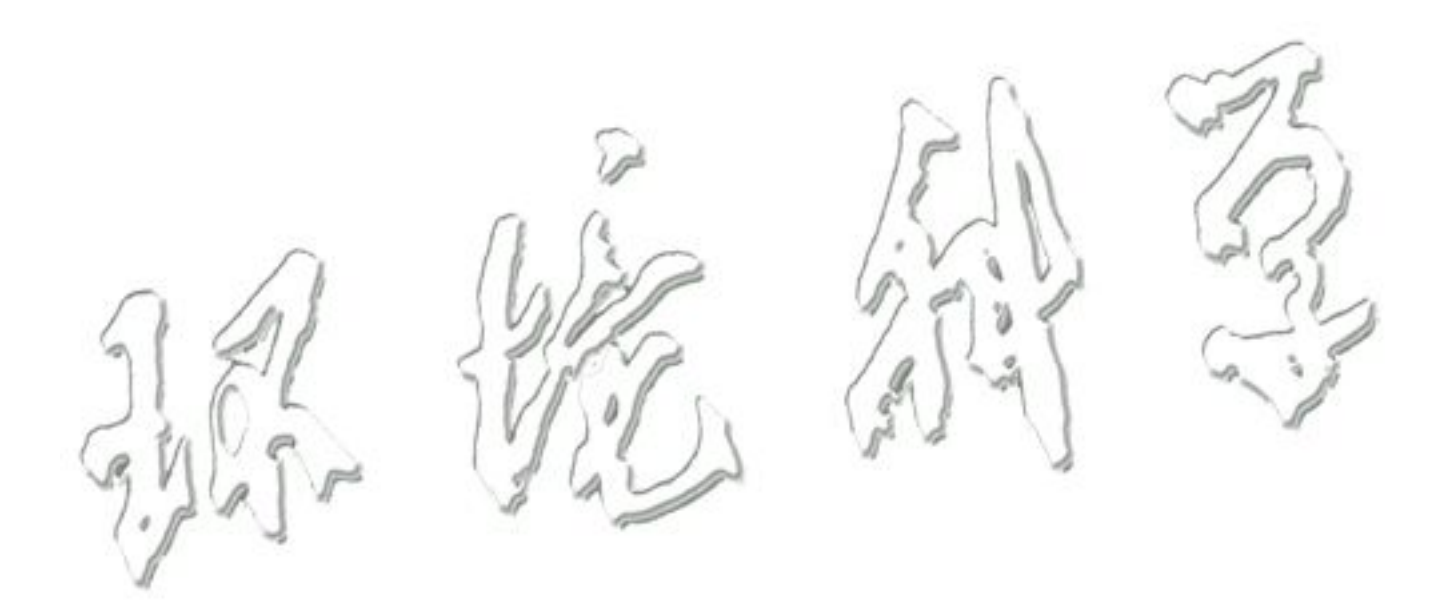
 Yao Q, Han S Q, Cai Z Y, *et al.* The diurnal variation and ozone production potential of BTEX in Tianjin in the summer of
- [27] Yuan Z B, Lau A K H, Shao M, et al. Source analysis of volatile organic compounds by positive matrix factorization in urban and rural environments in Beijing [J]. Journal of Geophysical Research; Atmospheres, 2009, 114(D2); D00G15.

2012[J]. China Environmental Science, 2013, 33 (5): 793-

- [28] 李用宇, 朱彬, 安俊琳, 等. 南京北郊秋季 VOCs 及其光化学特征观测研究[J]. 环境科学, 2013, **34**(8): 2933-2942. Li Y Y, Zhu B, An J L, *et al.* Characteristics of VOCs and their photochemical reactivity in autumn in Nanjing northern suburb [J]. Environmental Science, 2013, **34**(8): 2933-2942.
- [29] 杨笑笑,汤莉莉,张运江,等. 南京夏季市区 VOCs 特征及 03 生成潜势的相关性分析[J]. 环境科学,2016,37(2): 443-451.
 - Yang X X, Tang L L, Zhang Y J, et al. Correlation analysis between characteristics of VOCs and ozone formation potential in summer in Nanjing urban district [J]. Environmental Science, 2016, 37(2): 443-451.
- [30] Carter W P L. Development of ozone reactivity scales for volatile organic compounds [J]. Journal of the Air and Waste Management Association, 1994, 44(7): 881-899.
- [31] 吴方堃, 孙杰, 余晔, 等. 长白山背景站大气 VOCs 浓度变化特征及来源分析[J]. 环境科学, 2016, 37(9): 3308-3314. Wu F K, Sun J, Yu Y, et al. Variation characteristics and sources analysis of atmospheric volatile organic compounds in Changbai Mountain station [J]. Environmental Science, 2016, 37(9): 3308-3314.

- [32] 戚慧雯,包云轩,黄建平,等.夹卷对郊外大气边界层内臭氧影响的数值模拟研究[J].热带气象学报,2018,34(5):713-720
 - Qi H W, Bao Y X, Huang J P, et al. Numerical simulation of the impact of entrainment on ozone concentration in the rural atmospheric boundary layer [J]. Journal of Tropical Meteorology, 2018, 34(5): 713-720.
- [33] 林莉文, 卞建春, 李丹, 等. 北京城区大气混合层内臭氧垂直结构特征的初步分析——基于臭氧探空[J]. 地球物理学报, 2018, **61**(7): 2667-2678.
 - Lin L W, Bian J C, Li D, *et al*. Preliminary analysis on vertical distribution of ozone in the mixing layer over urban Beijing based on ozonesonde data [J]. Chinese Journal of Geophysics, 2018, **61**(7): 2667-2678.
- [34] 岳婷婷, 柴发合, 张新民, 等. 天津武清地区夏季臭氧光化学研究[J]. 环境科学研究, 2009, 22(1): 23-27.

- Yue T T, Chai F H, Zhang X M, et al. Ozone photochemistry in summer in Wuqing, Tianjin [J]. Research of Environmental Sciences, 2009, 22(1): 23-27.
- [35] 陈长虹, 苏雷燕, 王红丽, 等. 上海市城区 VOCs 的年变化特征及其关键活性组分[J]. 环境科学学报, 2012, **32**(2): 367-376.
 - Chen C H, Su L Y, Wang H L, et al. Variation and key reactive species of ambient VOCs in the urban area of Shanghai, China [J]. Acta Scientiae Circumstantiae, 2012, 32(2): 367-376.
- [36] 王伯光, 邵敏, 张远航, 等. 机动车排放中挥发性有机污染物的组成及其特征研究[J]. 环境科学研究, 2006, **19**(6):
 - Wang B G, Shao M, Zhang Y H, et al. A study of volatile organic compounds and its emission factors from city vehicles [J]. Research of Environmental Sciences, 2006, 19(6): 75-80.



HUANJING KEXUE

Environmental Science (monthly)

Vol. 41 No. 4 Apr. 15, 2020

CONTENTS

PM _{2.5} Inversion Using Remote Sensing Data in Eastern China Based on Deep Learning	
Regional Air Pollution Process in Winter over the Yangtze River Delta and Its Influence on Typical Northern Cities	
Influencing Factors of Ozone Concentration in Xi'an Based on Generalized Additive Models	
$Spatial \ and \ Temporal \ Distribution \ Characteristics \ of \ Levoglucosan \ and \ Its \ Isomers \ in \ PM_{2.5} \ in \ Beijing \ and \ Six \ Surrounding \ Cities \ \cdots\cdots$	
Characteristics and Sources Apportionment of Fine Particulate Matter in a Typical Coastal City During the Heating Period	- ·
Characteristics and Source Apportionment of Black Carbon in Chengdu	
Effects of VOCs on Ozone Formation in the Tianjin Suburbs in Summer	
Source Profiles and Impact of Volatile Organic Compounds in the Coating Manufacturing Industry	
Characteristics of Condensable Particulate Matter in Ultra-low Emission Coal-Fired Power Plants	
Distribution and Source Analysis of Nitrate in Surface Waters of China	······· ZHANG Xin, ZHANG Yan, BI Zhi-lei, et al. (1594)
Spatial Characteristics and Ecological Risks of Perfluoroalkyl Substances in Coastal Urbanized Areas of China and South Korea	···· YANG Hong-fa, SHI Bin, ZHOU Yun-qiao, et al. (1607)
Analysis of Water Quality Change and Its Driving Factors of the Xiaoqing River Estuary in Recent Ten Rears	FAN Xin-feng, HAN Mei, WANG Lei, et al. (1619)
Distribution of Four Artificial Sweeteners in Water Treatment and Water Supply System in City H of Zhejiang Province	MA Xiao-yan, HU Hui, LU Si-jia, et al. (1629)
Changes in Epilithic Algae Community and Its Relationship with Environmental Factors in the Meixi River, a Tributary of the Three Gor	ges Reservoir ·····
	· MI Wen-mei, SHI Jun-qiong, YANG Yan-jun, et al. (1636)
Succession Pattern of Phytoplankton and Its Drivers in Lake Luoma, Jiangsu Province	HANG Qing-ji, WANG Ye-yu, WANG Jin-dong, et al. (1648)
Relationship Between Diversity of Aquatic Plant Communities and Water Environmental Factors in Lhalu Wetland	···· WANG Jia-jun, TIAN Han-xin, ZHOU Lei, et al. (1657)
Evolution Characteristics and Driving Factors of Denitrification Community Based on Network Analysis in the Process of Spring Thermal	Layer Formation in Zhoucun Reservoir ······
	ZHOU Shi-lei, SUN Yue, ZHANG Yi-ran, et al. (1666)
Temporal and Spatial Distribution Characteristics and Difference Analysis of Nitrogen and Phosphorus in Daihai Lake	
Sediment Denitrification Rate and Its Response to Exogenous Carbon and Nitrogen in the Ponds and Bottomland of the Chaohu Lakeshore	
Phosphate Control Effect and Water Body Remediation of Magnesium Modified Reed Biochar	
Efficiency of Magnesium Hydroxide Capping and Amendment to Control Phosphorus Release from Sediments	
Characteristics of Chemical Fractions of Dissolved Organic Matter in Road Runoff in Beijing	
3D Porous Photothermal Materials for High Salt Wastewater Treatment	
Electrocatalytic Oxidation of Sulfadiazine with Ni-Doped Sb-SnO ₂ Ceramic Ring Particle Electrode	
Degradation of A07 with Magnetic Fe ₃ 0 ₄ -CuO Heterogeneous Catalyzed Sodium Percarbonate System	
Red Mud-activated Peroxymonosulfate for Ciprofloxacin Degradation: Efficiency and Mechanism	
Influence of Industrial Wastewater Quality on Advanced Treatment of Microbubble Ozonation	
Adsorption Properties of Sludge-hydrochar for Methylene Blue	
Preparation of Modified Watermelon Biochar and Its Adsorption Properties for Pb(II)	
Construction and Denitrification Performance of A ² /O Based on Partial Nitrification Coupled with an ANAMMOX System	
Construction and Mechanism of Methanotroph-based Ultimate Denitrification System for Tailwater of Urban Sewage Plants	
Impact of Hydraulic Retention Time on Performance of Partial Nitrification Granular Sludge in Continuous Stirred-Tank Reactor	
·	• • • • • • • • • • • • • • • • • • • •
Realization Process of Nitritation and Changes in Sludge Characteristics in Granular Sludge Reactor for Low Strength Sewage Treatment	
Characteristics of Organics Transformation and Sludge Morphology in an ABR for Sewage Treatment with Different HRTs	
Effect of Adding Granular Activated Carbon (GAC)/Manganese Dioxide (MnO ₂) for the Anaerobic Digestion of Waste Activated Sludge	
Trace Metals Pollution and Health Risks for Planning Area Soils of 193 Chinese Cities	
Assessment of Heavy Metal Pollution in Surface Dust of Lanzhou Schools Based on Random Forests	
Contents, Sources, and Ecological Risk Assessment of Polycyclic Aromatic Hydrocarbons (PAHs) in Surface Soils of Various Functional	
	_
Safety Assessment of Rice Planting in Soil Cadmium Geological Anomaly Areas in Southwest Guangxi	
Bioavailability and Influencing Factors of Soil Cd in the Major Farming Areas of Chongqing	
Control of Cadmium Migration and Transformation in Alkaline Paddy Soil-Rice Using Cotton Stalk Biochar	
Reduction of Soil Cadmium Activity and Rice Cadmium Content by 4-year-consecutive Application of Organic Fertilizer	
Effects of Nano-magnesium Hydroxide on the Forms of Cadmium in Different Types of Soil	
Selenium Uptake Characteristics of Reclaimed Soil-Crop from Mining Wasteland and Its Antagonistic Effects on Heavy Metals	, , ,
Dynamic Effects of Different Biochars on Soil Properties and Crop Yield of Acid Farmland	········· YANG Cai-di, ZONG Yu-tong, LU Sheng-gao (1914)
Effects of Fertilizer Reduction and Application of Organic Fertilizer on Soil Nitrogen and Phosphorus Nutrients and Crop Yield in a Purple	
	ZHU Hao-yu, GAO Ming, LONG Yi, et al. (1921)
Response of Nitrogen Loss Flux in Purple Soil Sloping Field to Reduced Fertilizer and Combining Straw	······ XIONG Zi-yi, WANG Zi-fang, LONG Yi, et al. (1930)
Effect and Approach of Enteromorpha prolifera Biochar to Improve Coastal Saline Soil	WU Dan, SUN Ping, LU Peng-zhan, et al. (1941)
Vertical Distribution of Soil Dissolved Carbon and Its Influencing Factors in the Artificial Shelterbelt Irrigated with Saline Water in an Experimental Control of Soil Dissolved Carbon and Its Influencing Factors in the Artificial Shelterbelt Irrigated with Saline Water in an Experimental Control of Soil Dissolved Carbon and Its Influencing Factors in the Artificial Shelterbelt Irrigated with Saline Water in an Experimental Carbon and Its Influencing Factors in the Artificial Shelterbelt Irrigated with Saline Water in an Experimental Carbon and Its Influencing Factors in the Artificial Shelterbelt Irrigated with Saline Water in an Experimental Carbon and Its Influencing Factors in the Artificial Shelterbelt Irrigated with Saline Water in an Experimental Carbon and Its Influencing Factors in the Artificial Shelterbelt Irrigated with Saline Water in the Influencing Factors i	xtreme Drought Desert
	MENG Tian-ge, WU Lu-yao, ZHANG Shao-lei, et al. ($1950)$
Response of Soil Enzyme Activity and Chemical Properties to Nitrogen Addition in a Korean Pine Plantation	
Consumption Capacity of N20 in Paddy Soil and the Response Mechanism of nosZ-I-containing Communities	
Consumption Capacity of N ₂ O in Paddy Soil and the Response Mechanism of nosZ-I-containing Communities Predicting the Recycling Potential and Evaluating the Environmental Benefits of Waste Electrical and Electronic Equipment in Beijing-Ti	······ GUO Jun-li, TIAN Mei-jie, GE Ti-da, et al. (1968)